

$$\sigma_{2,1} = 2.2 \cdot 10^{-14} \varepsilon^n \exp a, \quad (7)$$

$$\sigma_{4,3} = 1.9 \cdot 10^{-14} \varepsilon^p \exp b. \quad (8)$$

В этих выражениях константы измеряются в $\text{см}^3 \cdot \text{с}^{-1}$, сечения — в см^2 , $k T_e$ и ε в эргах. С учетом среднеквадратичной погрешности найденные параметры a, n, b, p равны: $a = -16 \pm 0.3$, $n = -0.54 \pm 0.06$, $b = -31.4 \pm 0.5$, $p = -1.04 \pm 0.1$.

Пользуясь принципом детального равновесия и формулами (5)–(8), можно получить выражения для $\beta_{1,2}, \beta_{3,4}, \sigma_{1,2}, \sigma_{3,4}$.

Следует отметить, что в области электронных температур $T = 1.5 \cdot 10^3 \div 3 \cdot 10^3 \text{ К}$, где константы $\beta_{1,2}$ и $\beta_{3,4}$ слабо зависят от T_e , полученные нами значения $\beta_{1,2} \approx 4.5 \cdot 10^{-7} \text{ см}^3 \cdot \text{с}^{-1}$ и $\beta_{3,4} \approx 2.1 \cdot 10^{-7} \text{ см}^3 \cdot \text{с}^{-1}$ удовлетворительно согласуются со значениями $\beta_{1,2} = (4 \pm 1) \cdot 10^{-7} \text{ см}^3 \cdot \text{с}^{-1}$ и $\beta_{3,4} = (7 \pm 2) \cdot 10^{-7} \text{ см}^3 \cdot \text{с}^{-1}$ из работы [5].

В заключение авторы выражают искреннюю благодарность профессору Н. П. Пенкину за постоянное внимание к работе и полезные советы.

Литература

- [1] А. В. Phelps. Phys. Rev., 99, 1307, 1955; 114, 1041, 1959.
- [2] Ю. З. Ионих, С. Э. Фриш. Опт. и спектр., 25, 615, 1968.
- [3] Ю. А. Толмачев, В. А. Костенко. Опт. и спектр., 39, 791, 1975.
- [4] Г. Н. Герасимов, Г. П. Старцев. Опт. и спектр., 36, 834, 1974.
- [5] О. П. Бочкова, Э. А. Сукиасян. Ж. прикл. спектр., 23, 601, 1975.
- [6] Г. Н. Герасимов, С. Я. Петров. Опт. и спектр., 43, 18, 1977.
- [7] Г. Н. Герасимов, Р. И. Лягушенко, Г. П. Старцев. Опт. и спектр., 30, 606, 1971.
- [8] О. П. Бочкова, Р. И. Лягушенко, Э. А. Сукиасян, Ю. А. Толмачев. ЖТФ, 44, 754, 1974.

Поступило в Редакцию 8 июня 1981 г.

УДК 532.783

ТИГАНТСКАЯ ОПТИЧЕСКАЯ НЕЛИНЕЙНОСТЬ НЕМАТИКА ВБЛИЗИ ПОРОГА НЕОПТИЧЕСКОГО ПЕРЕХОДА ФРЕДЕРИКСА

О. В. Гарibyan, Б. Я. Зельдович, В. А. Кривошёков,
Н. Ф. Пилипецкий, А. В. Сухов и Н. В. Табиран

Гигантская оптическая нелинейность (ГОН) нематического кристалла (НЖК) была недавно предсказана и обнаружена [1, 2]. ГОН обусловлена переориентацией (поворотом) директора \mathbf{n} за счет механического момента силы, действующего на анизотропно поляризующуюся среду в световом поле. С другой стороны, при наложении на ячейку с НЖК электрического (E_0) или магнитного (H_0) поля (как статического, так и радиочастотного) однородная ориентация директора НЖК в ячейке может оказаться неустойчивой — так называемый переход Фредерикса (ПФ) [3], см. также [4, 5]. Вблизи порога этой неустойчивости система становится «мягкой», т. е. более восприимчивой к внешним воздействиям. В настоящей работе теоретически и экспериментально исследуется отклик ячейки с НЖК на воздействие световых полей вблизи ПФ. Во избежание недоразумений сразу же оговорим, что переход Фредерикса, обусловленный самим световым полем [6], мы здесь не рассматриваем.

1. Теория. Пусть на гомеотропно ориентированную ячейку НЖК толщиной $0 \leq x \leq L$ наложено статистическое или радиочастотное поле

$\mathbf{E}_0 = E_0 \mathbf{e}_x$ (рис. 1), а световая волна $\mathbf{E}(\mathbf{r})$ имеет волновой вектор $\mathbf{k} = (\cos \alpha \mathbf{e}_x + \sin \alpha \mathbf{e}_z) k$ и поляризацию $\mathbf{e} \sim (\sin \alpha \mathbf{e}_x - \cos \alpha \mathbf{e}_z)$, т. е. соответствует необыкновенной волне. Плотность свободной энергии F эрг/см³ и диссипативной функции R (эрг/см³ с) примем в виде

$$\left. \begin{aligned} F &= \frac{1}{2} [K_{11} (\operatorname{div} \mathbf{n})^2 + K_{22} (\mathbf{n} \cdot \operatorname{rot} \mathbf{n})^2 + K_{33} (\mathbf{n} \times \operatorname{rot} \mathbf{n})^2] - \\ &\quad - \frac{\Delta \varepsilon}{8\pi} (\mathbf{E}_0 \mathbf{n})^2 + \frac{\varepsilon_a}{16\pi} (\mathbf{E} \mathbf{n}) (\mathbf{E}^* \mathbf{n}), \\ R &= \frac{1}{2} \beta \dot{\mathbf{n}}^2, \end{aligned} \right\} \quad (1)$$

где K_{ii} — константы Франка, $\Delta \varepsilon = -|\Delta \varepsilon|$ есть анизотропия статической диэлектрической проницаемости, а $\varepsilon_a = \varepsilon_{\parallel} - \varepsilon_{\perp} > 0$ — то же для световых

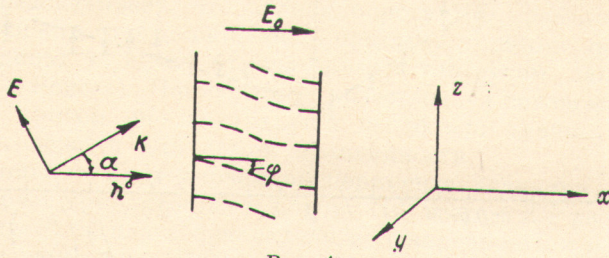


Рис. 1.

полей, β — константа релаксации размерности пуаз. Как для ГОН, так и для ПФ основную роль играет низшая пространственная гармоника возмущения директора

$$\mathbf{n}(x) = \mathbf{e}_x \cos \varphi(x) + \mathbf{e}_z \sin \varphi(x); \quad \varphi(x) = \Psi \sin \frac{\pi x}{L}. \quad (2)$$

Тогда из вариационных уравнений следует с точностью до членов $\sim \Psi^3$ включительно

$$3\Psi = A\Psi - B\Psi^3 + C, \quad (3a)$$

$$A = \frac{|\Delta \varepsilon| |E_0|^2}{4\pi} - K_{11} \left(\frac{\pi}{L} \right)^2 \equiv \frac{|\Delta \varepsilon|}{4\pi} \left(\frac{|E_0|^2}{|E_{\text{нор}}|^2} - 1 \right) \equiv \frac{|\Delta \varepsilon|}{4\pi} \eta, \quad (3b)$$

$$B = \frac{|\Delta \varepsilon|}{4\pi} \left(1 + \frac{K_{33} - K_{11}}{K_{11}} + \frac{|\Delta \varepsilon|}{\varepsilon_{\perp}} \right), \quad (3c)$$

$$C = -\frac{\varepsilon_a}{2\pi^2} \sin \alpha \cos \alpha |E|^2. \quad (3d)$$

Здесь $\eta = (|E_0|^2 / |E_{\text{нор}}|^2) - 1$ — степень близости статического поля к пороговому, $\eta > 0$ выше порога. При вычислении константы B учтена также модификация статического поля за счет искажения директора, см. подробнее [5]; в дальнейшем явное выражение для B нам не понадобится. Ниже порога $A < 0$, и в отсутствие световых полей стационарное решение единственное — $\Psi = 0$. При этом в пренебрежении слагаемым $B\Psi^3$ можно получить, что действие световых полей ($C \neq 0$) дает

$$\Psi = -\frac{C}{|A|} = -\frac{1}{|\eta|} \frac{|E|^2 2\varepsilon_a \sin \alpha \cos \alpha}{\pi |\Delta \varepsilon|}. \quad (4)$$

Выше порога ПФ и при $C = 0$ имеется одно неустойчивое ($\Psi = 0$) и два устойчивых ($\Psi = \pm \sqrt{A/B}$) положения равновесия. Тогда с линейной по C точностью вблизи устойчивой точки имеем

$$\Psi = \pm \sqrt{\frac{A}{B} + \frac{C}{2A}} = \pm \sqrt{\frac{A}{B} - \frac{|E|^2 \varepsilon_a \sin \alpha \cos \alpha}{\gamma \pi |\Delta \varepsilon|}}. \quad (5)$$

Таким образом, в рассматриваемом приближении отклик системы растет вблизи порога по закону типа Кюри—Вейсса: $\sim |\eta|^{-1}$ ниже и

$\sim (2\eta)^{-1}$ выше порога. Рассмотрение нестационарного уравнения (3а) показывает, что установление оптической нелинейности происходит по закону $[1 - \exp(t/\tau)]$, где $\tau = \tau_0/|\eta|$, при $\eta < 0$; $\tau = \tau_0/2\eta$ при $\eta > 0$

$$\tau_0 = \frac{|\beta|}{K_{33}(\pi/L)^2}. \quad (6)$$

При резком снятии статического поля релаксация к новому стационарному значению Ψ происходит со временем τ_0 , независящим от исходного

a

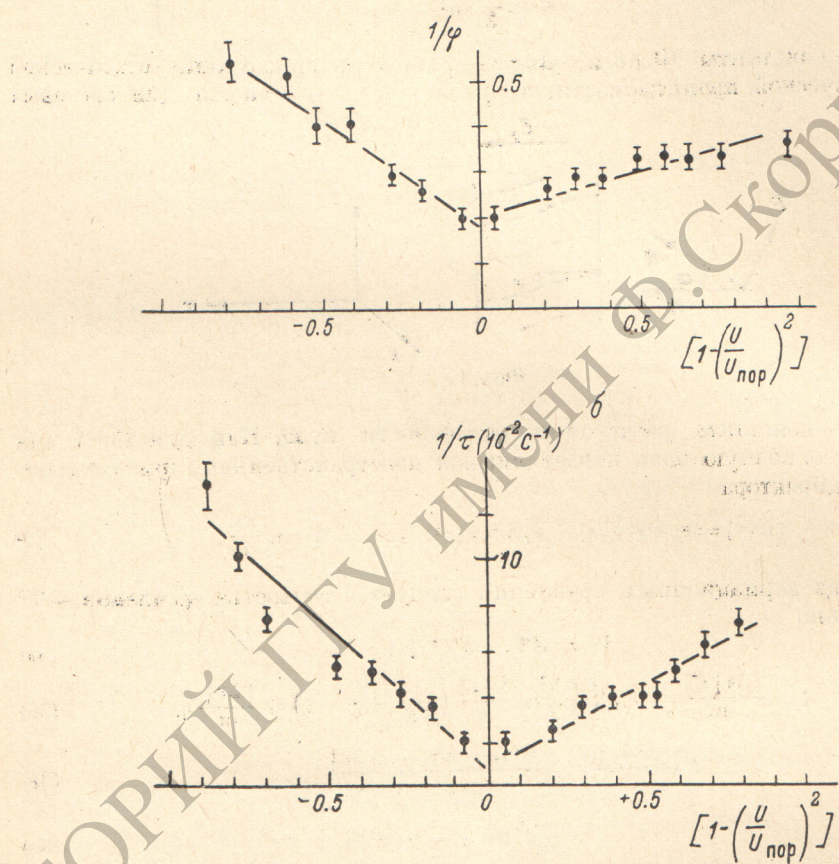


Рис. 2.

превышения над порогом. Дополнительный набег фазы световой волны, связанный с возмущением директора вида (2), равен

$$\delta\Phi = -\frac{\omega}{cn_e} \frac{2L\varepsilon_a \sin \alpha}{\pi} \Psi. \quad (7)$$

Колоколообразное распределение интенсивности $|E(r)|^2$ по поперечному сечению светового пучка должно приводить к внешней самофокусировке света с характерной кольцевой структурой поля в дальней зоне, причем число колец $N \approx \delta\Phi(r=0) \pm 2\pi$, если кювета находится в перетяжке невозмущенного пучка.

2. Эксперимент. Одномодовое по поперечному индексу излучение Не-Не лазера ЛГ-38, $\lambda = 628$ нм, мощностью $W \leq 30$ мВт фокусировалось линзой ($f = 10$ см) в ячейку толщиной $L = 50$ мкм с гомеотропно ориентированным нематиком МББА при комнатной температуре, $T \approx 20^\circ \text{C}$. С помощью прозрачных электродов к ячейке прикладывалось напряжение $E_0 L$ от звукового генератора (частота 200 Гц). Угол между

направлением пучка в воздухе и нормалью к плоскости кюветы составлял $\approx 60^\circ$. Регистрировалось распределение прошедшего пучка в дальней зоне (на расстоянии 350 см). Исходная растворимость пучка $\theta = 1.18 \times 10^{-2}$ рад. ($FWe^{-1} M$).

В отсутствие поля E_0 в слое нематика наблюдалась ГОН. При мощности $W = 30$ мВт образуется N -3 самофокусировочных колец в дальней зоне, а расходимость увеличивается до $7.4 \cdot 10^{-2}$ рад (по диаметру наружного кольца). При приложении к кювете поля E_0 , близкого к порогу ПФ, самофокусировочная расходимость пучка и число колец возрастают. Расстет также и время установления картины ГОН-самофокусировки. Экспериментальные зависимости приведены на рис. 2, a, б. При $|E_0|^2 \geq 2|E_{\text{пор}}|^2$ величина ГОН выходила на постоянное значение, примерно в 2 раза меньшее, чем ГОН в отсутствие поля E_0 .

Теория предсказывает, что вблизи порога ПФ графики величин φ^{-1} и τ^{-1} в зависимости от γ должны быть прямыми линиями, пересекающими начало координат с вдвое отличающимся тангенсом наклона (аналог закона Кюри—Вейсса). Наблюдается качественное согласие теории с экспериментом, причем оно оказывается несколько лучшим для времени установления, нежели для самой нелинейности.

К сожалению, в этом первом эксперименте величину ГОН удалось увеличить за счет приближения к порогу ПФ всего в 2.1 раза. Возможно, что препятствием являлась поперечная неоднородность и нестабильность кюветы, из-за чего порог ПФ размазывался.

Было замечено также следующее. При мгновенном включении напряжения, близкого к порогу ПФ, время установления ГОН составляло $\sim 40 \div 45$ с, а при его мгновенном выключении $\sim 20 \div 25$ с, т. е. существенно меньше в соответствии с теоретическими представлениями.

Таким образом, в настоящей работе теоретически и экспериментально продемонстрировано оклопороговое возрастание гигантской оптической нелинейности вблизи перехода Фредерикса.

Авторы благодарят Ю. С. Чилингаряна за ценные обсуждения и поддержку данной работы.

Литература

- [1] N. V. Tabiryau, B. Ya. Zel'dovich. Mol. Cr.-Liquid Gr., 62, 237, 1980.
- [2] Б. Я. Зельдович, Н. Ф. Пилипецкий, А. В. Сухов, Н. В. Табириан. Письма ЖЭТФ, 31, 287, 1980.
- [3] В. Фредерикс, В. Золина. ЖРФХО, сер. физ., 62, 457, 1930.
- [4] П. де Жен. Физика жидкых кристаллов. «Мир», М., 1977.
- [5] Л. М. Блинов. Электро- и магнитооптика жидких кристаллов. «Наука», М., 1978.
- [6] А. С. Золотко, В. Ф. Китаева, Н. Кроо, Н. Н. Соболев, Л. Чилаг. Письма ЖЭТФ, 32, 170, 1980.

Поступило в Редакцию 8 июня 1981 г.

УДК 543.420.62+551.51

О ВОЗМОЖНОСТИ ОПРЕДЕЛЕНИЯ КОНЦЕНТРАЦИИ SO_2 И NO_2 В АТМОСФЕРЕ ПО СПЕКТРАМ ПРОПУСКАНИЯ СОЛНЕЧНОГО ИЗЛУЧЕНИЯ

О. Д. Крайслер, В. Л. Головский, Ю. А. Шкуренко
и В. Р. Козубовский

Для исследования загрязнения приземных слоев атмосферы дистанционными методами весьма перспективным представляется использование солнечного излучения [1]. Характер спектра пропускания атмосферой